

| Distance estimée.  | Correction selon<br>M. Struve. | Correction obtenue<br>graphiquement. |
|--------------------|--------------------------------|--------------------------------------|
| 0 <sup>''</sup> 80 | +0 <sup>''</sup> 03            | +0 <sup>''</sup> 030                 |
| 0,85               | —                              | +0,018                               |
| 0,90               | +0,01                          | +0,010                               |
| 0,95               | —                              | +0,004                               |
| 1,00               | 0,00                           | 0,000                                |

on voit effectivement que la plus grande discordance de ces deux tables ne s'élève qu'à 0<sup>''</sup>01.

Les corrections indiquées ici ne doivent pas être regardées comme définitives; car M. M. *Struve* n'ont pas terminé leurs recherches expérimentales; et l'on peut remarquer d'ailleurs que les observations qui ont fourni les corrections pour les distances comprises entre 0<sup>''</sup>6 et 1<sup>''</sup>0, ne sont peut-être pas assez nombreuses.

La série des distances comprises entre 0<sup>''</sup>4 et 0<sup>''</sup>6 et observées par M. *Otto Struve* à Poulkowa soulève une difficulté. Convient-il ou non d'appliquer à ces observations les corrections données par la table précédente? Cette table a été déduite par M. *Struve* père, de ses propres observations faites à Dorpat; le défaut d'identité des observateurs ne paraît pas s'opposer à l'application de la table à la 2<sup>e</sup> série, puisque l'erreur de l'estime est attribuée à la dissemblance des limites qui terminent les espaces à comparer. D'un autre côté, les instruments de Dorpat et de Poulkowa sont établis dans des conditions peu différentes, et l'on y adapte des oculaires à peu près aussi puissants. La plus sérieuse objection que l'on pourrait opposer à l'usage actuel de la table de M. *Struve* est relative à la part un peu incertaine de l'estime et de la mesure directe dans les distances obtenues par M. *Otto Struve*. Quoiqu'il en soit, la série des distances de  $\eta$  de la Couronne fournies par cet astronome ne pourrait pas se concilier sans corrections constantes ou variables avec celles de M. *W. Struve*.

A défaut de données positives et à titre d'essai, je me suis décidé à appliquer aux observations de distance de M. *Otto Struve* les corrections tirées de la table précédente; en

sorte que le résultat auquel conduit l'emploi de ces distances ne pourra être admis qu'à la condition d'être vérifié d'une autre manière. D'ailleurs il est presque inutile de rappeler qu'il ne s'agit ici que de la détermination du demi-grand axe.

Quant aux deux distances observées par M. *Mädler* avec la lunette de Dorpat, il résulte de ce qui vient d'être dit, qu'on peut leur appliquer les corrections de M. *Struve*; c'est ce que j'ai fait.

Enfin je n'ai point tenu compte dans la détermination du demi-grand axe de trois distances observées, l'une par Sir *John Herschel*, et les deux autres par M. *Daves*, attendu que les différences entre les distances mesurées par ces Astronomes et celles de M. *Struve* ne m'ont pas paru assez exactement déterminées dans le cas où les distances sont très-petites. Nous reviendrons un peu plus loin sur les observations de Mr. *Daves*.

Les observations d'angles de position que j'ai employées pour corriger les éléments de l'orbite de  $\eta$  de la Couronne sont au nombre de 37. Elles comprennent toutes celles qui sont parvenues à ma connaissance. Les équations de condition ont été traitées par la méthode des moindres carrés, et m'ont conduit aux éléments que voici; (le demi-grand axe excepté).

Éléments de l'orbite de  $\eta$  de la Couronne Boréale 1850

|                                    |          |                                   |
|------------------------------------|----------|-----------------------------------|
| AR.                                | =        | 15 <sup>h</sup> 17 <sup>m</sup> 0 |
| Decl.                              | =        | +30°50'                           |
| Passage au périhélie               |          | 1779,338; 1846,647                |
| Moy. mouvement annuel              |          | 5 <sup>''</sup> 3484              |
| Angle ( <i>sin</i> = Excentricité) |          | 23°51'0                           |
| Longit. du noeud ascend.           | 9 52,3   | } Compt. du mérid. de 1850        |
| „ du périhélie                     | 194 51,9 |                                   |
| Inclinaison                        |          | ±59 18,6                          |
| Demi-grand axe                     |          | 1 <sup>''</sup> 2015              |
| d'où il Suit:                      |          |                                   |
| Durée de la révolution             |          | 67,309 ans.                       |
| Excentricité                       |          | 0,40433                           |

|                               | Dates.             | Position. | Dist.                |
|-------------------------------|--------------------|-----------|----------------------|
| Plus petit périhélie apparent | 1786,068; 1853,377 | 264°53'   | 0 <sup>''</sup> 4830 |
| Plus grand aphélie apparent   | 1811,942; 1879,251 | 11 5      | 1,6851               |
| Plus grand périhélie apparent | 1771,431; 1838,740 | 116 20    | 0,5159               |
| Plus petit aphélie apparent   | 1778,744; 1846,053 | 188 15    | 0,7170               |

Les angles de position sont Comptés du Méridien de 1850.

Ces éléments comparés à ceux que nous avons publiés dans les Additions à la connaissance des temps ne présentent que d'assez faibles différences avec ceux-ci; la plus grande différence angulaire, celle relative à la position du noeud est de 5°31'; la durée de la révolution a été augmentée d'une année, et la date du passage au périhélie de 3 mois environ.

Avant de dire comment nous avons obtenu le demi-grand axe, nous allons présenter le résultat de la Comparaison de l'ensemble des observations avec nos éléments corrigés.

7 de la Couronne. Comparaison des éléments avec l'ensemble des observations.

| Observations. |                     |           |                      |                  | Observateurs. | Correction des distances. | Distances corrigées. | Rapport de la distance au demi-grand axe déduits des 6 premiers éléments. | Angle de position. Observé—Calculé |          | Distance Corrigée—Calculée. |
|---------------|---------------------|-----------|----------------------|------------------|---------------|---------------------------|----------------------|---|------------------------------------|----------|-----------------------------|
| Dates.        | Angles de position. | Distance. | grossissement moyen. | Nombre de Jours. |               |                           |                      |   | Dièdre.                            | En arc.  |                             |
| 1781,69       | 210° 41'            | —         | —                    | 932?             | 1             | —                         | —                    | 0,5346  | —0° 12'                            | —0'' 002 | —                           |
| 1802,69       | 359 40              | —         | —                    | —                | 1             | —                         | —                    | 1,2406  | +1 5                               | +0,028   | —                           |
| 1823,27       | 25 57               | —         | —                    | —                | 2             | —                         | —                    | 1,1681  | —1 33                              | —0,038   | —                           |
| 26,77         | 35° 28'             | 1'' 154*) | 600                  | 4 et 3           | —             | 0'' 000                   | 1'' 154              | 1,0060  | +0 24                              | +0,008   | —0'' 055                    |
| 29,55         | 43,25               | 0,960     | 600                  | 2                | —             | +0,003                    | 0,963                | 0,8527  | +0 19                              | +0,006   | —0,061                      |
| 30,303        | 44 28               | 0,820     | —                    | —                | —             | 0                         | 0,820                | 0,8084  | —1 11                              | —0,020   | (—0,151)                    |
| 31,36         | 51 12               | —         | —                    | —                | —             | —                         | —                    | 0,7452  | +1 10                              | +0,018   | —                           |
| 31,42         | 52 30               | —         | —                    | —                | 10            | —                         | —                    | 0,7416  | +2 12                              | +0,034   | —                           |
| 31,63         | 50 63               | 0,883     | 600                  | 3                | —             | +0,012                    | 0,895                | 0,7290  | —0 38                              | —0,010   | +0,019                      |
| 32,48         | 56 42               | —         | —                    | —                | 10            | —                         | —                    | 0,6779  | +1 8                               | +0,016   | —                           |
| 32,55         | 56 42               | —         | —                    | —                | —             | —                         | —                    | 0,6738  | +0 45                              | +0,011   | —                           |
| 32,76         | 56,87               | 0,790     | 933                  | 3                | —             | +0,032                    | 0,822                | 0,6613  | —0 14                              | —0,003   | +0,027                      |
| 33,28         | 62 6                | —         | —                    | —                | 8             | —                         | —                    | 0,6307  | +1 53                              | +0,025   | —                           |
| 33,39         | 63 31               | —         | —                    | —                | —             | —                         | —                    | 0,6243  | +2 36                              | +0,034   | —                           |
| 35,41         | 74,28               | 0,730     | 900                  | 6                | —             | +0,047                    | 0,777                | 0,5163  | —2 23                              | —0,026   | +0,157                      |
| 36,52         | 88,77               | 0,563     | 967                  | 6                | —             | +0,091                    | 0,654                | 0,4703  | +0 39                              | +0,006   | +0,089                      |
| 37,47         | 95,44               | 0,385     | 900                  | 4                | —             | +0,122                    | 0,507                | 0,4432  | —4 7                               | —0,038   | —0,025                      |
| 38,44         | 107,04              | 0,366     | 1000                 | 5                | —             | +0,123                    | 0,489                | 0,4302  | —5 17                              | —0,048   | —0,028                      |
| 39,82         | 127,05              | 0,586     | 609                  | 3                | —             | +0,085                    | 0,671                | 0,4390  | —3 45                              | —0,035   | +0,144                      |
| 40,52         | 137,80              | 0,518     | 1036                 | 6                | —             | +0,101                    | 0,619                | 0,4542  | —1 46                              | —0,017   | +0,073                      |
| 41,43         | 150 24              | 0,480     | —                    | —                | —             | +0,108                    | 0,588                | 0,4815  | +0 25                              | +0,004   | +0,010                      |
| 41,50         | 151,25              | 0,522     | 936                  | 4                | —             | +0,100                    | 0,622                | 0,4838  | +0 31                              | +0,005   | +0,041                      |
| 42,21         | 157 58,5            | 0,5       | —                    | —                | —             | +0,105                    | 0,605                | 0,5084  | +0 1                               | +0,000   | 0,006                       |
| 43,30         | 165,00              | 0,570     | 858                  | 3                | —             | +0,089                    | 0,659                | 0,5460  | —2 44                              | —0,031   | +0,003                      |
| 45,61         | 183,13              | 0,577     | 910                  | 5                | —             | +0,087                    | 0,664                | 0,5953  | —2 2                               | —0,025   | —0,051                      |
| 46,61         | 193,93              | 0,557     | 858                  | 3                | —             | +0,087                    | 0,644                | 0,5943  | +1 45                              | +0,022   | —0,070                      |
| 46,88         | 196 46              | —         | 435                  | —                | —             | —                         | —                    | 0,5914  | +2 41                              | +0,033   | —                           |
| 47,64         | 201,78              | 0,495     | 858                  | 5                | —             | +0,106                    | 0,601                | 0,5775  | +2 8                               | +0,026   | —0,093                      |
| 48,00         | 204,05              | 0,658     | 476                  | 4                | —             | 0                         | 0,658                | 0,5681  | +1 41                              | +0,020   | (—0,025)                    |
| 48,72         | 207,80              | 0,495     | 1013                 | 2                | —             | +0,106                    | 0,601                | 0,5449  | —0 22                              | —0,004   | —0,054                      |
| 49,44         | 218,28              | 0,694     | 500                  | 2                | —             | 0                         | 0,694                | 0,5173  | +3 45                              | +0,041   | (+0,073)                    |
| 49,65         | 214,63              | 0,517     | 858                  | 3                | —             | +0,101                    | 0,618                | 0,5087  | —1 54                              | —0,020   | +0,007                      |
| 50,52         | 221,50              | 0,437     | 936                  | 4                | —             | +0,114                    | 0,551                | 0,4727  | —4 3                               | —0,040   | —0,017                      |
| 51,35         | 236 37              | —         | —                    | —                | 2             | —                         | —                    | 0,4411  | +1 7                               | +0,010   | —                           |
| 51,40         | 239 18              | —         | —                    | —                | 3             | —                         | —                    | 0,4394  | +3 9                               | +0,029   | —                           |
| 51,56         | 233,26              | 0,412     | 1076                 | 10               | —             | +0,118                    | 0,530                | 0,4340  | —5 0                               | —0,045   | +0,009                      |
| 52,62         | 257,98              | 0,402     | 1065                 | 6                | —             | +0,120                    | 0,522                | 0,4080  | +4 41                              | +0,040   | +0,032                      |

NB. Les nombres de la dernière colonne, qui sont entre parenthèses se rapportent à des distances qui n'ont pas été employées dans la détermination du demi-grand axe.

Disons maintenant comment nous avons déterminé le demi-grand axe. Les autres éléments obtenus au moyen des angles de position seulement nous ont permis de calculer les diverses valeurs du rapport de la distance au demi-grand axe.

Soient;  $\rho'$  ce rapport,  $A$  le demi-grand axe, et  $\rho$  la distance observée et corrigée conformément aux indications de Mr. Struve, nous avons posé pour chaque observation de distance une équation de la forme  $\rho = \rho' A$ .

\*) La moyenne 1'' 154 diffère du nombre 1'' 075 publié dans les mensurae micrometricae; nous avons obtenu le premier en supprimant l'une des quatre observations 0'' 84 qui nous a paru trop différer des autres, et ramenant les observations conservées à l'époque moyenne 1826,77, en tenant compte de la variation de la distance par rapport au temps.



*[Faint, illegible handwriting on aged paper]*





2





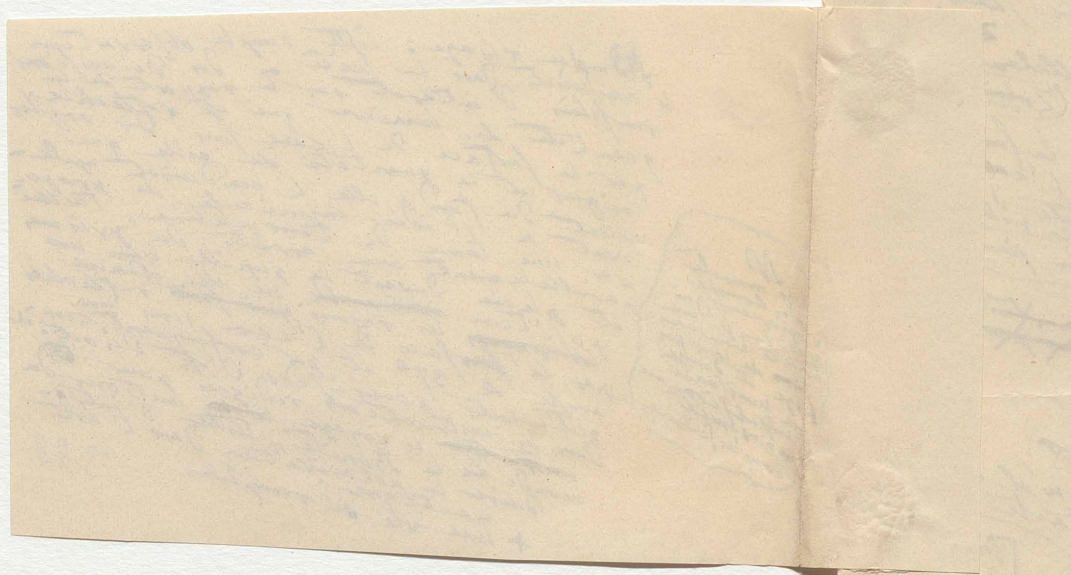


3

M. du voyage. Cette simple observation  
 le conduisit dans la suite à de  
 complies d'intérêt sur le rapport de la  
 quantité de lumière qui est réfléchi  
 par la surface de l'écorce pour celle qui  
 aiguit et la quantité de celle qui  
 vient du fond, elle le conduisit à propo-  
 sition de l'idée ingénieuse de Cailli-  
 ment une lame de tourmaline; pris mes  
 a et parallèlement aux arêtes du cristal  
 et placée devant la pupille dans une  
 position convenable on voit réfléchis  
~~les rayons~~ les rayons de l'écorce sous un  
 angle de 37° et par conséquent, com-  
 plètement polarisés. C'est  
 dans la ~~instruction~~ redigée pour  
 le voyage de l'expédition d'Albr-  
 monde de la Bonite l'expédition  
 d'Albronde que  
 nautique  
 + une ve si simple

388

M. de la Roche  
 des hommes  
 supérieurs, qui  
 ont fait  
 un grand pas  
 dans la science  
 de leur pays.  
 dans de nombreux  
 ouvrages publiés  
 dans les sciences



Journal

Q. out  
L'obser

M. ce  
 1/ la  
 2/ l'ob,  
 3/ la p. ven.  
 4/ le moy  
 de rot

l'observateur pr. l'écrit  
 du double comen. des franges  
 causés par la ven. centre de  
 dans l'onglet de lumière d'onde  
 traversant une lame mince  
 du verre) plus épaisse que  
 dans la route de l'exp. de l'émulsion  
 à la chlorure de la propriété  
 exprimée de la propriété

389

Handwritten text on a piece of aged, yellowish paper, possibly a label or a page from a book. The text is written in a cursive script and is mostly illegible due to fading and the angle of the paper. The paper is folded, and the text is visible on both sides of the fold. The left side of the paper has a pointed end. There is a faint circular stamp or seal on the right side of the paper, which is also illegible.



(4)





dans l'état on ne me trouve qu'accompagner de mes vœux  
 les expérimentateurs qui veulent suivre mes idées et ajouter une  
 nouvelle preuve en faveur du système des ~~ondes~~ ondes à elles  
 que j'ai déduites d'un phénomène d'interférence très bien connu  
 d'opticiens mais que j'aye besoin de la rappeler ici. Les vœux de  
 M. Fraunhofer ont été exaucés et ceux de son vivant dit expérimentateur  
 également distingués par un beau talent et par une louable dévotion  
 dans leur procédé vu à cet égard de l'insertion de M. Foucault à qui  
 l'on doit la démonstration physique du mouvement de rotation  
 de la Terre au moyen de la vitesse de la lumière dans l'atmosphère  
 par une méthode ingénieuse et avec des rayons différents et si juste perfec-  
 tionnés on résout la question de travail de M. Foucault à elle  
 de l'émission de lumière en mai 1850, celui du travail  
 présenté à l'Académie des Sciences en mai 1850, celui du travail  
 de M. Fizeau en Septembre 1851.

Si je ne suis arrivé plus tôt à la lumière c'est que  
 les objets de mes recherches ont été de suite en l'air de l'é-  
 tude occupée de ces aiguilles d'acier de suite dans les  
 de la première observation que j'ai faite dans les  
 au moyen de la méthode  
 par

occupé  
 par



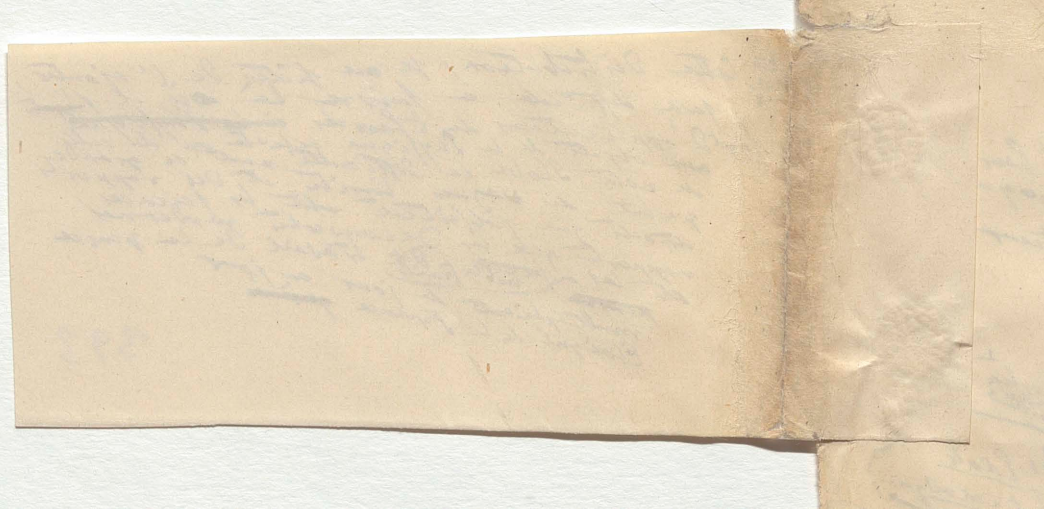


5

79

Cette distribution, je me pite de l'ajouter,  
para difficile à suivre la ~~ou il faut~~  
saget d'explications de theories ~~de physique~~  
aux objets de la physique celeste ou de celle  
de notre Globe la difficulté nait en grande  
partie des ~~vagues~~ limites de des ~~vagues~~  
doctrines qui subsistent entre les sciences  
rapport que les decouvertes modernes  
et les ~~facilement~~ <sup>travaux</sup> de la pensee  
~~peuvent~~ multiplient de jour en jour  
Eloigné de la France ~~peuvent~~

393



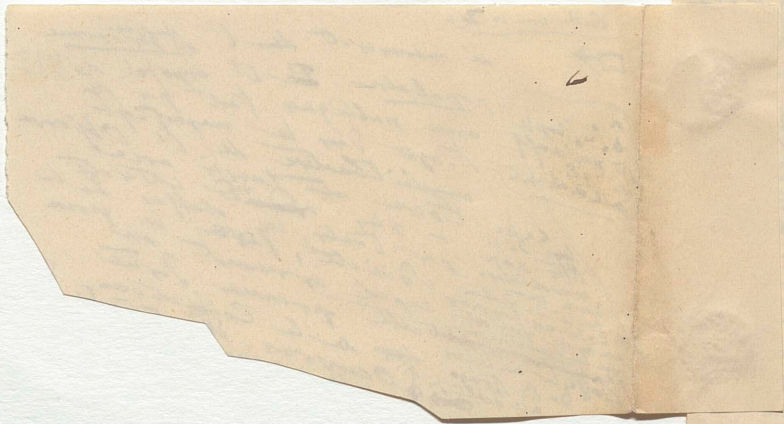






6





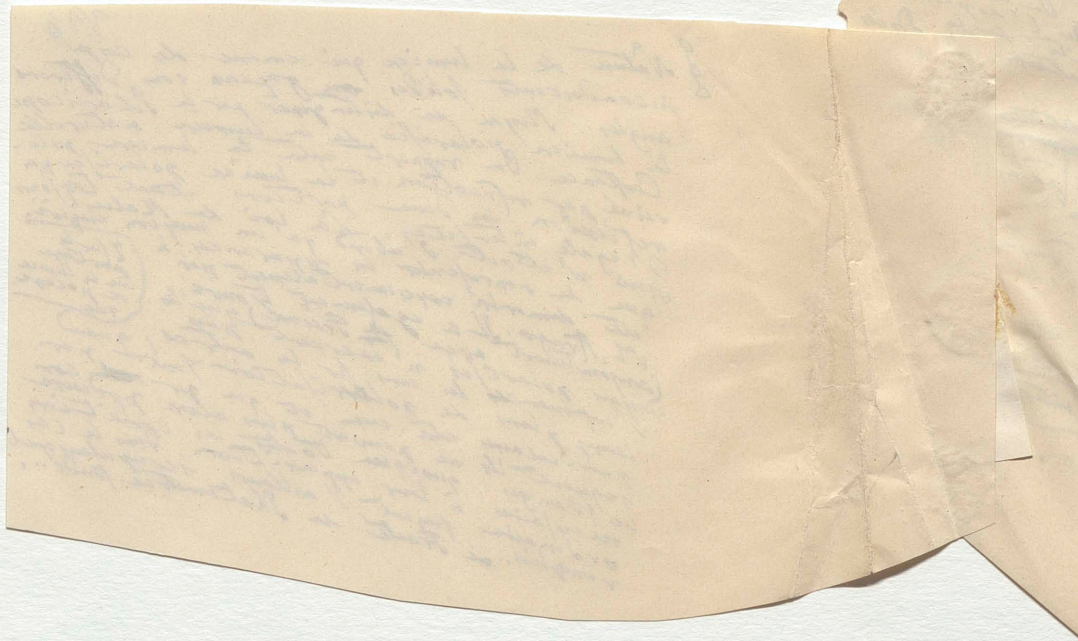
Comptes  
pale  
de Dolon

~~l'analyse~~  
de la  
pale  
pale.

l'analyse  
de la  
pale

g Nature de la lumiere qui emane des corps  
 incandescents solides ou gazeux sous differens  
 angles. Moyen de distinguer par le polariscope  
 la lumiere polarisee de la lumiere naturelle  
 Coherence Ou rapport entre la lumiere pola-  
 risee par refraction et la lumiere polarisee par  
 reflexion les deux parties etant toujours  
 d'egale intensite. La loi de Malus  
 que n'altout d'abord qu'un moyen empirique  
 que se representent les experiences a  
 ete demontree experimentalement par  
 M. Arago. Il a egalment trouve les  
 (conjointement avec M. Fresnel) que les  
 rayons polarises n'absorbent pas  
 d'energie les uns par les autres, quand  
 leurs plans de polarisation sont per-  
 pendiculaires entre eux et que par con-  
 sequent ils ne peuvent plus alors produire  
 de franges, a leur apparition dans le cas  
 ordinaire par exemple, si on les rend  
 convergens. de Fraunhofer et de Schott et le fond...

Sur la  
 polarisation  
 de la lumiere  
 naturelle.



+ 4. Partie météorologique, 7. Partie spécifique de l'air conjointement  
avec Diot, Louis de L'Isle, Expériences pour constater que le  
loi de Maoutte n'ignore aucune variation jusqu'à 77° le  
avec Dulong) (voir) de l'air et les lois de l'air  
que le balon restait dans l'air et les lois de l'air  
Moutte trait de l'air et les lois de l'air  
conjointement de l'air et les lois de l'air  
la variation de l'air et les lois de l'air  
et les lois de l'air et les lois de l'air

397  
Fondé par le principe  
des lois de l'air  
et les lois de l'air

+ 5. Partie météorologique, 7. Partie spécifique de l'air conjointement  
avec Diot, Louis de L'Isle, Expériences pour constater que le  
loi de Maoutte n'ignore aucune variation jusqu'à 77° le  
avec Dulong) (voir) de l'air et les lois de l'air  
que le balon restait dans l'air et les lois de l'air  
Moutte trait de l'air et les lois de l'air  
conjointement de l'air et les lois de l'air  
la variation de l'air et les lois de l'air  
et les lois de l'air et les lois de l'air

397  
Fondé par le principe  
des lois de l'air  
et les lois de l'air

+ 6. Partie de la physique, 7. Partie spécifique de l'air conjointement  
avec Diot, Louis de L'Isle, Expériences pour constater que le  
loi de Maoutte n'ignore aucune variation jusqu'à 77° le  
avec Dulong) (voir) de l'air et les lois de l'air  
que le balon restait dans l'air et les lois de l'air  
Moutte trait de l'air et les lois de l'air  
conjointement de l'air et les lois de l'air  
la variation de l'air et les lois de l'air  
et les lois de l'air et les lois de l'air

397  
Fondé par le principe  
des lois de l'air  
et les lois de l'air

+ 7. Partie de la physique, 7. Partie spécifique de l'air conjointement  
avec Diot, Louis de L'Isle, Expériences pour constater que le  
loi de Maoutte n'ignore aucune variation jusqu'à 77° le  
avec Dulong) (voir) de l'air et les lois de l'air  
que le balon restait dans l'air et les lois de l'air  
Moutte trait de l'air et les lois de l'air  
conjointement de l'air et les lois de l'air  
la variation de l'air et les lois de l'air  
et les lois de l'air et les lois de l'air

397  
Fondé par le principe  
des lois de l'air  
et les lois de l'air

397  
Fondé par le principe  
des lois de l'air  
et les lois de l'air

+ 4. Partie météorologique, 7. Poide spécifique de l'air comprimé  
avec Dulong. L'air comprimé ne cristallise que le  
loi de Mariotte n'explique aucune variation jusqu'à 27  
avec Dulong) (voir les notes sur les propriétés physiques  
que la chaleur est la cause de la dilatation, et que  
compromis des causes de la dilatation, et que  
la chaleur est la cause de la dilatation, et que  
mémoriser les expériences sur le point de fusion  
pendant l'été.

397  
Fondé par les principes  
de la physique  
de la chimie  
de la mécanique  
de la météorologie  
de la géologie  
de la botanique  
de la zoologie  
de la médecine  
de la chirurgie  
de la pharmacologie  
de la vétérinaire  
de la vétérinaire  
de la vétérinaire

+ 5. Partie météorologique, 7. Poide spécifique de l'air comprimé  
avec Dulong. L'air comprimé ne cristallise que le  
loi de Mariotte n'explique aucune variation jusqu'à 27  
avec Dulong) (voir les notes sur les propriétés physiques  
que la chaleur est la cause de la dilatation, et que  
compromis des causes de la dilatation, et que  
la chaleur est la cause de la dilatation, et que  
mémoriser les expériences sur le point de fusion  
pendant l'été.

398  
L'histoire de la France  
de la République  
de la monarchie  
de la royauté  
de la féodalité  
de la noblesse  
de la bourgeoisie  
de la plèbe  
de la paysannerie  
de la bourgeoisie  
de la plèbe  
de la paysannerie

L'histoire de la France  
de la République  
de la monarchie  
de la royauté  
de la féodalité  
de la noblesse  
de la bourgeoisie  
de la plèbe  
de la paysannerie  
de la bourgeoisie  
de la plèbe  
de la paysannerie

+ 6. Partie de la physique, 7. Poide spécifique de l'air comprimé  
avec Dulong. L'air comprimé ne cristallise que le  
loi de Mariotte n'explique aucune variation jusqu'à 27  
avec Dulong) (voir les notes sur les propriétés physiques  
que la chaleur est la cause de la dilatation, et que  
compromis des causes de la dilatation, et que  
la chaleur est la cause de la dilatation, et que  
mémoriser les expériences sur le point de fusion  
pendant l'été.

399  
L'histoire de la France  
de la République  
de la monarchie  
de la royauté  
de la féodalité  
de la noblesse  
de la bourgeoisie  
de la plèbe  
de la paysannerie  
de la bourgeoisie  
de la plèbe  
de la paysannerie

+ 7. Partie de la physique, 7. Poide spécifique de l'air comprimé  
avec Dulong. L'air comprimé ne cristallise que le  
loi de Mariotte n'explique aucune variation jusqu'à 27  
avec Dulong) (voir les notes sur les propriétés physiques  
que la chaleur est la cause de la dilatation, et que  
compromis des causes de la dilatation, et que  
la chaleur est la cause de la dilatation, et que  
mémoriser les expériences sur le point de fusion  
pendant l'été.

400  
L'histoire de la France  
de la République  
de la monarchie  
de la royauté  
de la féodalité  
de la noblesse  
de la bourgeoisie  
de la plèbe  
de la paysannerie  
de la bourgeoisie  
de la plèbe  
de la paysannerie

+ 4. Partie météorologique, 7 D'oidi spécifique de l'air conjointement  
avec D'oidi L'oidi spécifique pour constater que le  
loi de Mariotte n'explique aucune variation jusqu'à 27 le  
avec Dulong) ~~qui n'explique aucune variation jusqu'à 27 le~~  
que la chaleur radiante ~~est la cause de la dilatation~~  
est la cause de la dilatation ~~de l'air~~  
comparaison des causes de dilatation de l'air  
la cause de la dilatation de l'air est la chaleur radiante  
mémoriser la cause de la dilatation de l'air

397  
Fond de  
pour les principes  
de physique  
M

+ 5. Partie magnétique  
D'oidi spécifique de l'air conjointement  
avec D'oidi L'oidi spécifique pour constater que le  
loi de Mariotte n'explique aucune variation jusqu'à 27 le  
avec Dulong) ~~qui n'explique aucune variation jusqu'à 27 le~~  
que la chaleur radiante ~~est la cause de la dilatation~~  
est la cause de la dilatation ~~de l'air~~  
comparaison des causes de dilatation de l'air  
la cause de la dilatation de l'air est la chaleur radiante  
mémoriser la cause de la dilatation de l'air

Sur la force  
de la chaleur  
radiante  
M

+ 6. Partie de Géographie physique  
D'oidi spécifique de l'air conjointement  
avec D'oidi L'oidi spécifique pour constater que le  
loi de Mariotte n'explique aucune variation jusqu'à 27 le  
avec Dulong) ~~qui n'explique aucune variation jusqu'à 27 le~~  
que la chaleur radiante ~~est la cause de la dilatation~~  
est la cause de la dilatation ~~de l'air~~  
comparaison des causes de dilatation de l'air  
la cause de la dilatation de l'air est la chaleur radiante  
mémoriser la cause de la dilatation de l'air

Professeurs  
de la Faculté  
de Médecine  
M

+ 7. Partie de Géographie humaine  
D'oidi spécifique de l'air conjointement  
avec D'oidi L'oidi spécifique pour constater que le  
loi de Mariotte n'explique aucune variation jusqu'à 27 le  
avec Dulong) ~~qui n'explique aucune variation jusqu'à 27 le~~  
que la chaleur radiante ~~est la cause de la dilatation~~  
est la cause de la dilatation ~~de l'air~~  
comparaison des causes de dilatation de l'air  
la cause de la dilatation de l'air est la chaleur radiante  
mémoriser la cause de la dilatation de l'air

Les causes de la  
dilatation de l'air  
sont la chaleur  
radiante et la  
pression  
M

+ 8. Partie de Géographie économique  
D'oidi spécifique de l'air conjointement  
avec D'oidi L'oidi spécifique pour constater que le  
loi de Mariotte n'explique aucune variation jusqu'à 27 le  
avec Dulong) ~~qui n'explique aucune variation jusqu'à 27 le~~  
que la chaleur radiante ~~est la cause de la dilatation~~  
est la cause de la dilatation ~~de l'air~~  
comparaison des causes de dilatation de l'air  
la cause de la dilatation de l'air est la chaleur radiante  
mémoriser la cause de la dilatation de l'air

Madame  
de la Faculté  
de Médecine  
M

Madame  
de la Faculté  
de Médecine  
M

7.

~~XXXX~~



L'Artillerie de la Garde Royale  
estant placée à Villajoyosa  
jointement avec Gray Luffae  
Howard, Proney, Macken  
et Humboldt)

398

*[Faint, illegible handwriting on a rectangular piece of aged paper]*

*[Faint, illegible handwriting on a rectangular piece of aged paper, possibly a label or a separate note]*



8

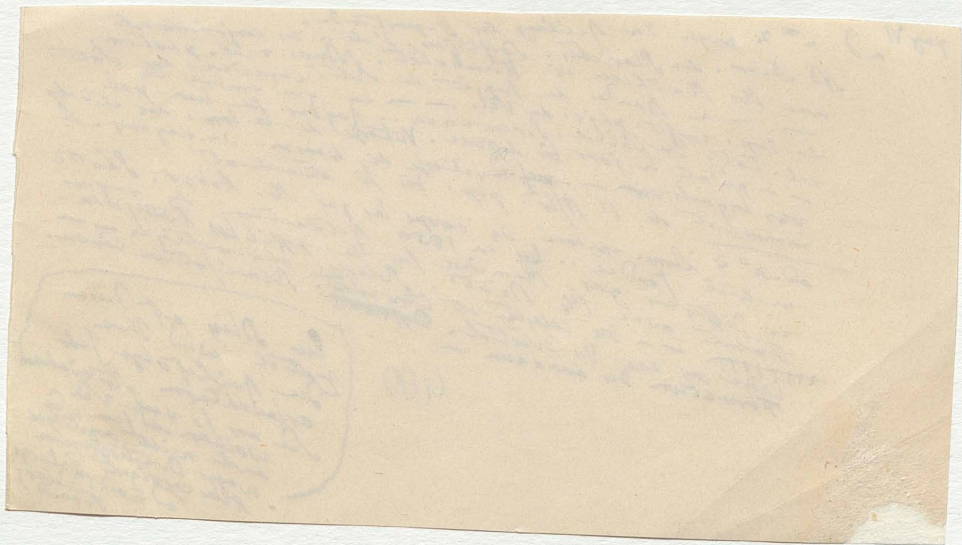
pag VI 2 n<sup>o</sup> 2 wegen der Zeichnung der Gegenstände.

N<sup>o</sup> 2. Diom. des Manches. Solitaires d'été... les conjonctions  
avec Mrs Mathieu et Humboldt. Nouv. rech. photom.  
— — — — — Nombres de jours de vol. Lumière des Sols  
de l'air. Coeff. phys. du Vol. — — — — — qui emportent  
cel. tot. Du Vol. Procédure. Jours de la lune, des étoiles  
— — pendant le jour de l'été. Vitesse de la lune, des étoiles  
vues lorsqu'on — — — — — manifeste de l'Atm. par  
manœuvre de l'Atm. par — — — — — si attachent

ad. n<sup>o</sup> 3 Lum. en vol. du corps bas par Mrs. Trigo. Photos  
métric fondée... en 1850 extraction du rayon  
ce diffère par. Mémoire sur la réflexion libyde  
vement avec les Diom. Solage. observation Libyde  
— — — — — en vol. et teneur. Manifestation circ.  
+ + + + +  
Lair en vol. du cristal. Différent  
Formes du nouveau

400

Ein Brief mit Ihren  
Zettel wird Ihnen  
zu nächst folgen sehr  
erleichtert. Sie werden  
Sie auch so viel wie  
wollen auf dem Weg  
und nicht am Ende  
wegen der Schwierigkeit  
aber corrigiert. Ich habe  
od mein Diem;  
für und



En traitant par la méthode des moindres carrés l'ensemble des équations relatives aux observations de Mr. *W. Struve*; puis de la même manière celles de Mr. *Otto Struve* et celles de Mr. *Mädler* nous avons obtenu les trois équations suivantes

Par 8 observations de M. *W. Struve*  $4^{\text{h}}3217 = 3,5770 A$ ; d'où  $A = 1^{\text{h}}2082$

12 obs. de M. *Otto Struve* ....  $3,7067 = 3,1063 A$ ; „  $A = 1,1933$

2 obs. de M. *Mädler* .....  $0,5908 = 0,4903 A$ ; „  $A = 1,205$

Par l'ensemble des 22 observations ...  $8^{\text{h}}6192 = 7,1736 A$ ; d'où  $A = 1^{\text{h}}2015$

La plus grande différence de ces trois déterminations avec le résultat final est de  $0^{\text{h}}008$  seulement. Une aussi grande concordance tendrait à justifier l'application que nous avons faite aux observations de M. M. *Otto Struve* et *Mädler* des corrections qui étaient seulement légitimées à l'égard des observations de M. *Struve* père.

Quant à la différence entre les valeurs du demi-grand axe correspondantes à M. M. *Struve*, nous la trouvons ici de  $0^{\text{h}}015$ ; elle est de même sens et précisément égale à la différence que nous avons indiquée (Additions à la connaissance des temps pour 1852 page 197) entre les valeurs du demi-grand axe de l'orbite de 72 d'Ophiucus relatives à ces deux observateurs. Dans ce dernier cas, il s'agissait d'une quantité égale à  $5''$  environ; et les distances qui excédaient toutes  $1''$  n'avaient besoin de recevoir aucune correction. Toutefois la coïncidence exacte que nous rencontrons ici doit être regardée comme purement fortuite; il suffirait en effet d'altérer de quelques centièmes de seconde une des distances observées pour que la coïncidence cessât d'être aussi parfaite.

En faisant la somme des corrections apportées aux 12 distances de M. *Otto Struve* et celles des différences correspondantes entre l'observations corrigée et le calcul, on trouve les nombres  $+1^{\text{h}}214$  et  $+0^{\text{h}}024$ , dont les moyennes sont respectivement  $+0^{\text{h}}101$  et  $+0^{\text{h}}002$ . Si l'on admet que l'exactitude de la valeur du demi-grand axe est suffisamment établie par la petitesse des écarts entre les résultats partiels et le résultat moyen, on arrive à cette conséquence que la correction moyenne à appliquer aux distances observées par M. *Otto Struve* entre les limites  $0^{\text{h}}4$  et  $0^{\text{h}}6$  est de  $+0^{\text{h}}099$ , ou à très peu près 1 dixième de seconde. Les variations des corrections employées entre ces limites ne dépassent pas  $0^{\text{h}}02$  par rapport à cette moyenne, d'où il suivrait que les erreurs de M. *Otto Struve* entre ces limites seraient sensiblement constantes. Au reste ce ne sont là que des présomptions; nous les soumettons particulièrement à l'examen de l'habile astronome à l'obligeance duquel nous devons la communication de belles séries d'observations.

Nous avons laissé de côté les deux mesures de distances obtenues par M. *Daves*, parce que le faible pouvoir optique de son instrument comparé à ceux de Dorpat et de Poulkova nous faisait considérer les mesures de très-petites

distances comme peu comparables à celles qui ont été obtenues en Russie. Cependant les erreurs  $-0^{\text{h}}025$  et  $+0^{\text{h}}073$  déduites d'une valeur du demi-grand axe obtenue sans le concours des observations de M. *Daves*, montrent que les observations de cet astronome distingué ne sont pas aussi loin d'être comparables à celles de M. M. *Struve* qu'on aurait pu le craindre tout d'abord. Le demi-grand axe que donnent les deux mesures de M. *Daves* est  $1^{\text{h}}241$ , valeur qui ne diffère que de  $0^{\text{h}}040$  de notre moyenne générale. Encore faut-il faire remarquer que ce résultat étant déduit de quantités observées qui sont presque moitié moindres que le résultat obtenu, l'influence des erreurs des observations y est presque doublée.

Malgré la concordance assez remarquable des valeurs du demi-grand axe, il faut bien reconnaître que les erreurs des distances corrigées sont loin d'atteindre le degré de petitesse des erreurs qui affectent les angles de position. Indépendamment de ce que l'on pourrait conserver quelques doutes sur la légitimité des corrections appliquées, le résultat de la comparaison des distances \*) montre que nous devons effectivement nous en tenir à l'emploi des angles de position dans la détermination des six principaux éléments de l'orbite.

En jetant un coup d'oeil sur les différences relatives aux angles de position qui sont données dans le tableau précédent, on remarque que la plus forte de ces différences réduite en arc ne s'élève qu'à  $0^{\text{h}}048$ . Leur ensemble donne pour l'erreur probable d'un angle de position exprimée de la même manière le nombre  $0^{\text{h}}0188$ . Or M. *Struve* a établi que l'erreur probable de la moyenne de trois observations d'angle de position réduite en arc varie de  $0^{\text{h}}018$  à  $0^{\text{h}}028$  pour les distances comprises entre  $0^{\text{h}}70$  et  $1^{\text{h}}48$ . Le résultat qui précède s'accorde très-bien avec les déterminations expérimentales de M. *Struve*.

\*) A l'égard de l'observation de 1839 nous devons faire remarquer d'après M. *Otto Struve* que les observations de cette année-là peuvent n'être pas prises en considération, par la raison que c'est en 1839 qu'il a commencé à se livrer aux mesures micrométriques, et que des observations d'alors ne pouvaient jouir de la précision que l'expérience lui a permis d'atteindre en suite. Ainsi l'écart  $+0^{\text{h}}144$  de la distance mesurée en 1839, ne doit point nous surprendre.

Notre tableau semble indiquer la trace d'une erreur systématique entre les époques 1837 et 1840; on observera que cet intervalle comprend un passage au périhélie apparent; et qu'en outre, on n'a là d'autres observations que celles de M. M. *Struve*; de 1846 à 1848, on trouve encore quelques erreurs de même signe, mais qui sont très faibles. Enfin les erreurs un peu sensibles des deux dernières observations qui sont respectivement de  $-0^{\prime\prime}045$  et  $+0^{\prime\prime}040$  peuvent être attribuées au très-grand rapprochement des étoiles; car le Compagnon marche vers le périhélie apparent, qui doit avoir lieu en 1853,377, la distance se réduisant à cette époque à  $0^{\prime\prime}484$ .

Les traces d'erreurs systématiques dont nous avons parlé ne pourront disparaître entièrement que lorsque les astronomes auront eux mêmes déterminé par des observations ou expériences spéciales, la loi des erreurs qui affectent les angles de position suivant l'obliquité par rapport à l'horizon de la ligne droite qui joint les images des étoiles. Nous avons lieu d'espérer que M. M. *Struve* nous feront bientôt connaître le résultat de leurs recherches sur ce sujet.

Malgré les discordances qui subsistent encore dans les comparaisons des angles de position, nous pouvons considérer nos éléments comme représentant les observations d'une manière très-satisfaisante. Il nous reste à dire comment l'orbite de 43 ans y satisfait. Nous nous sommes borné à comparer les deux dernières observations de M. *Otto Struve* aux éléments (2. Solution) publiés dans les Additions à la connaissance des temps. Le résultat de la comparaison est

| Date.   | Angle observé<br>—<br>angle calculé. | Dist. observée<br>—<br>dist. calculée. | Dist. corrigée<br>—<br>dist. calculée. |
|---------|--------------------------------------|--|--|
| 1851,56 | $-104^{\circ} 7'$                    | $-0^{\prime\prime}035$                 | $+0^{\prime\prime}083$                 |
| 1852,62 | $-91 30$                             | $-0,213$                               | $-0,093$                               |

On aura une valeur plus approchée de l'écart des deux orbites quant aux angles de position, en corrigeant les observations de M. *Otto Struve* des erreurs indiquées par la comparaison présentée ci-dessus; de cette manière il vient:

1851,56;  $-99^{\circ} 7'$

1852,62;  $-96 11$

ou environ  $-97^{\circ} 5$  pour le commencement de 1852.

Or, une telle discordance n'est pas de celles que l'on fait disparaître par de légers changements dans les éléments; nous sommes donc autorisé à rejeter l'orbite de 43 ans de révolution et à considérer l'orbite de 67 ans comme étant bien celle que décrit réellement le Compagnon de  $\eta$  de la Couronne.

La révolution de 67,309 ans ne nous paraît pas susceptible d'être sensiblement modifiée par les observations ultérieures, attendu que la position correspondante à l'ancienne observation de *W. Herschel* a été atteinte et dépassée dans ces dernières années; la durée de la révolution ne se trouve dès lors affectée que d'une incertitude au plus égale au temps pendant lequel serait décrit un angle de position égal à la différence algébrique de l'erreur moyenne des observations modernes et de celle de *W. Herschel*. On reconnaît aisément que cette incertitude ne peut guère dépasser une année. Or, le nombre 66,257 ans satisfait déjà à l'ensemble des observations antérieures à 1848. Il est donc visible que la vraie durée de la révolution, si elle excède 67,309 ans, ne s'en écartera que d'une petite fraction d'année.

Ajoutons en terminant qu'ayant appliqué aux seules observations de M. M. *Struve* la méthode présentée dans mon 3e mémoire sur les Etoiles doubles sans leur faire subir de Corrections relatives aux distances, j'ai obtenu immédiatement une orbite encore un peu indéterminée, il est vrai, mais dans laquelle la durée de la révolution se trouvait être de 69,3 ans. Ainsi sans avoir recours aux anciennes observations d'*Herschel*, la série des observations de M. M. *Struve* suffit déjà pour donner une idée assez approchée de l'orbite de  $\eta$  de la Couronne.

Observatoire de Paris, le 30 mars 1853.

*Yvon Villarceau.*

Beobachtungen auf der Sternwarte zu Leiden, angestellt von Dr. J. A. C. Oudemans.

Vorübergang des Merkurs vor der Sonne.

Eintritt 1848 Nov. 8

1r Rd.  $23^{\text{h}} 23^{\text{m}} 26^{\text{s}} 8$  mittl. Zt. Leiden.

2r Rd. 23 24 59,1